

(WDS) BUR920040116US1
Toshiharu Furukawa et al.

1/11

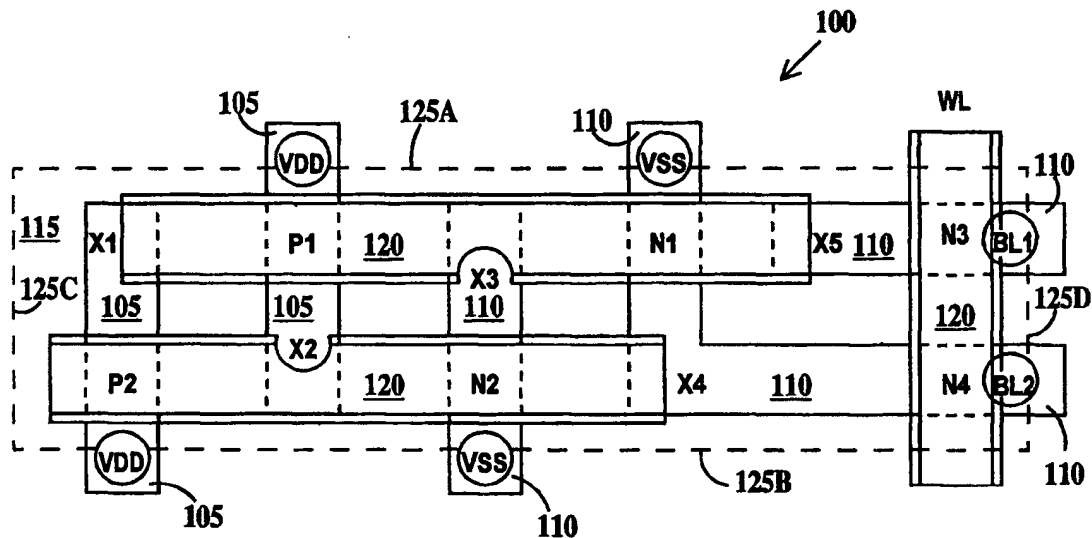


FIG. 1

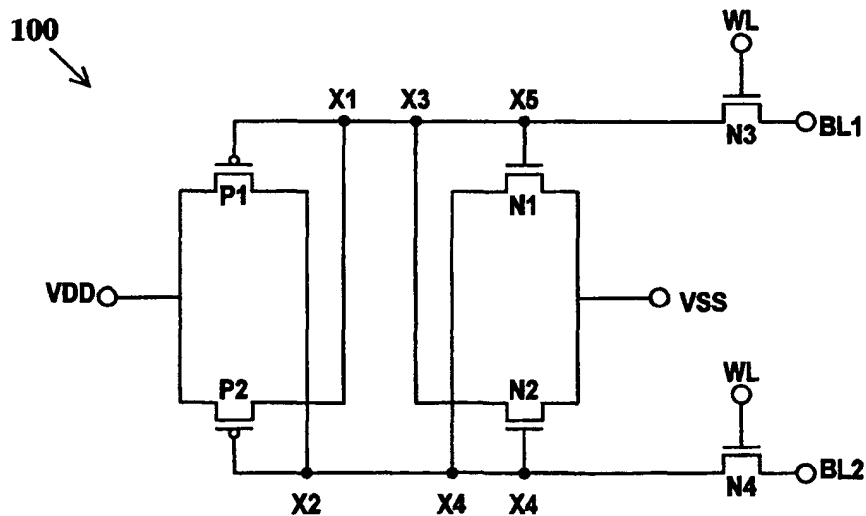


FIG. 2

BUR920040116US1

2/11

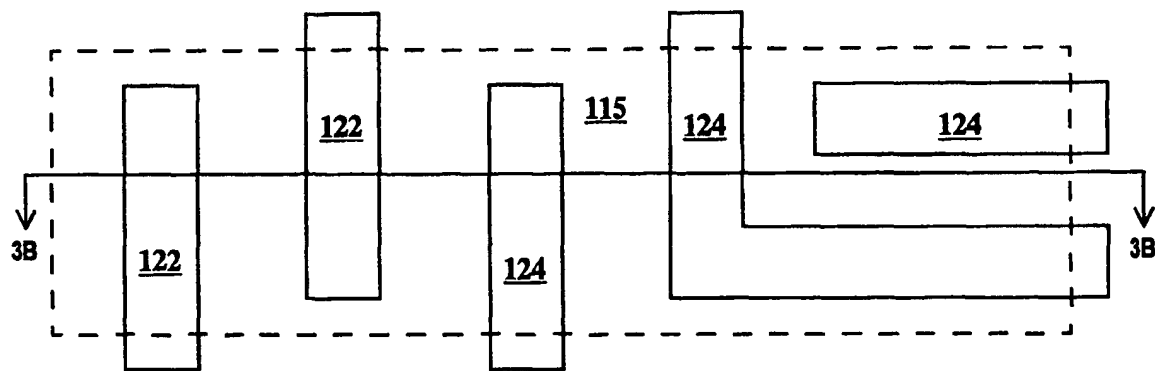


FIG. 3A

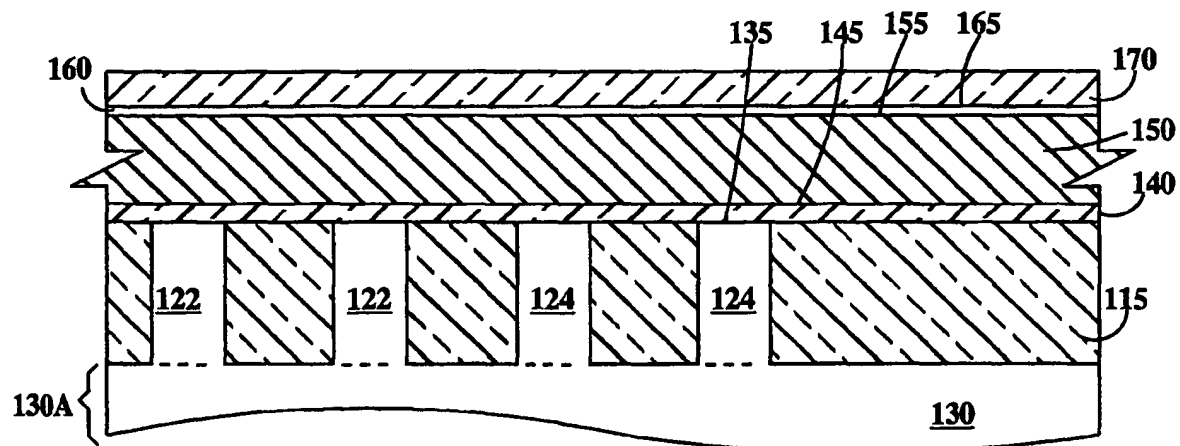


FIG. 3B

BUR920040116US1

3/11

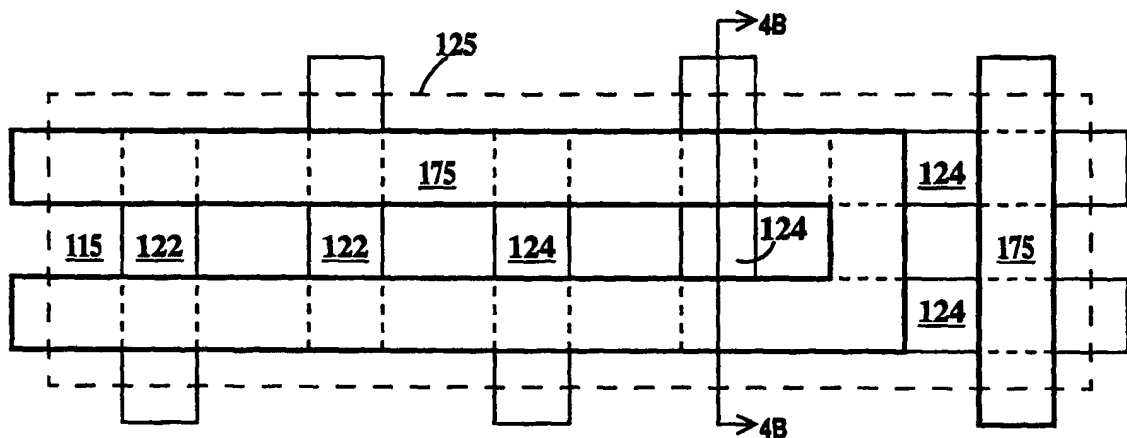


FIG. 4A

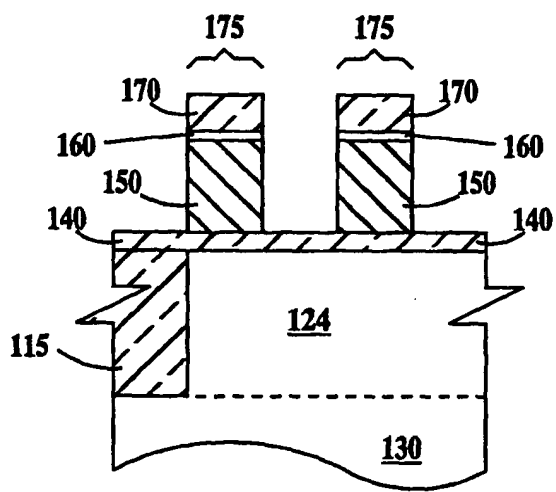


FIG. 4B

BUR920040116US1

4/11

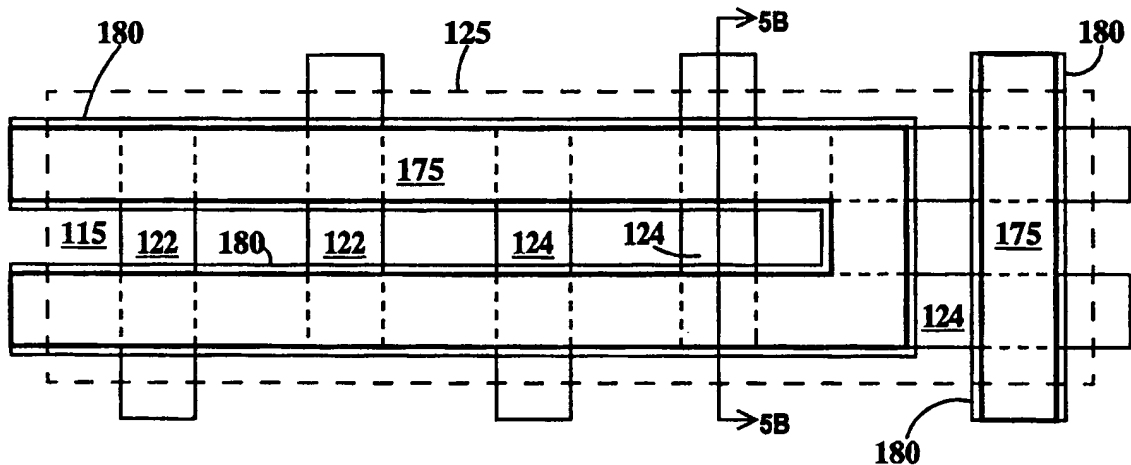


FIG. 5A

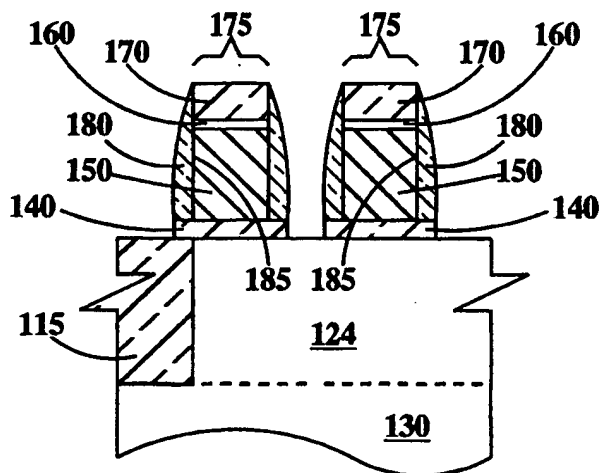
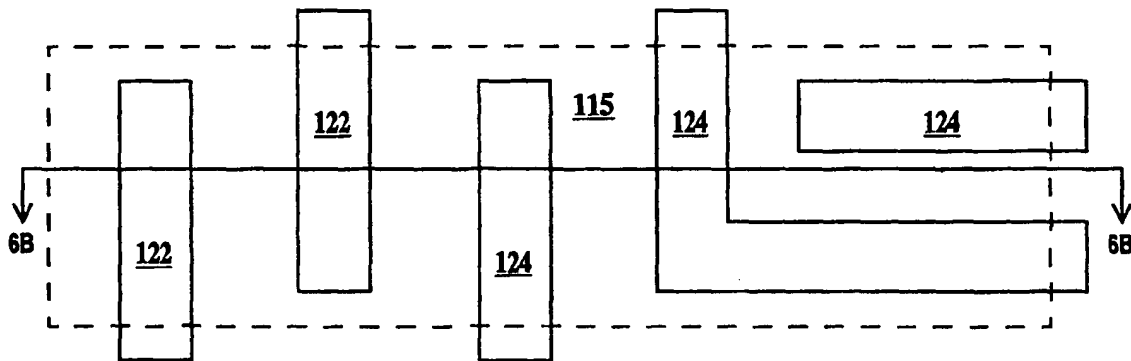
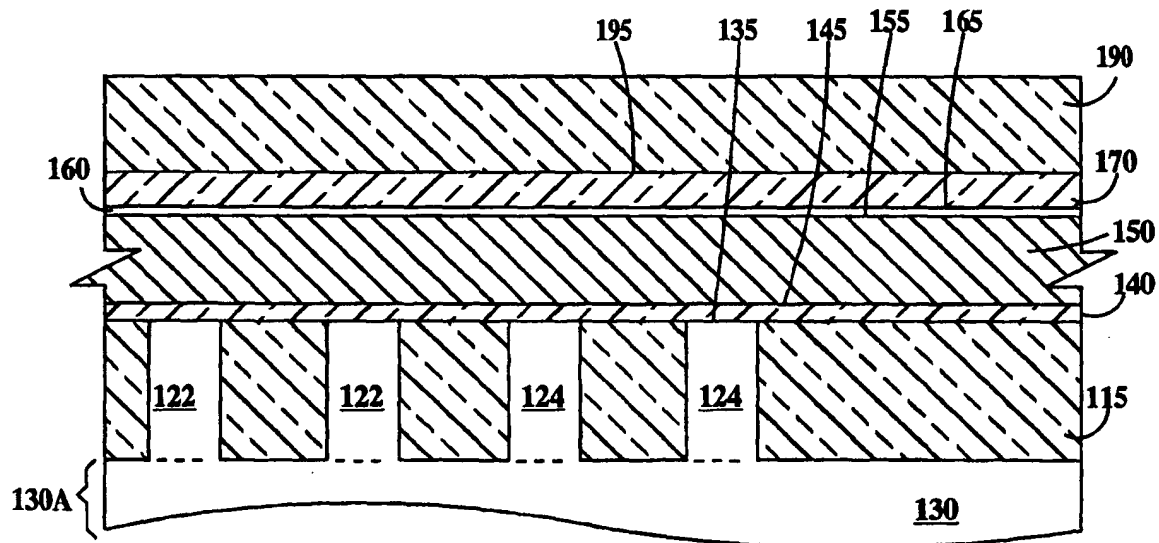


FIG. 5B

BUR920040116US1

5/11**FIG. 6A****FIG. 6B**

BUR920040116US1

6/11

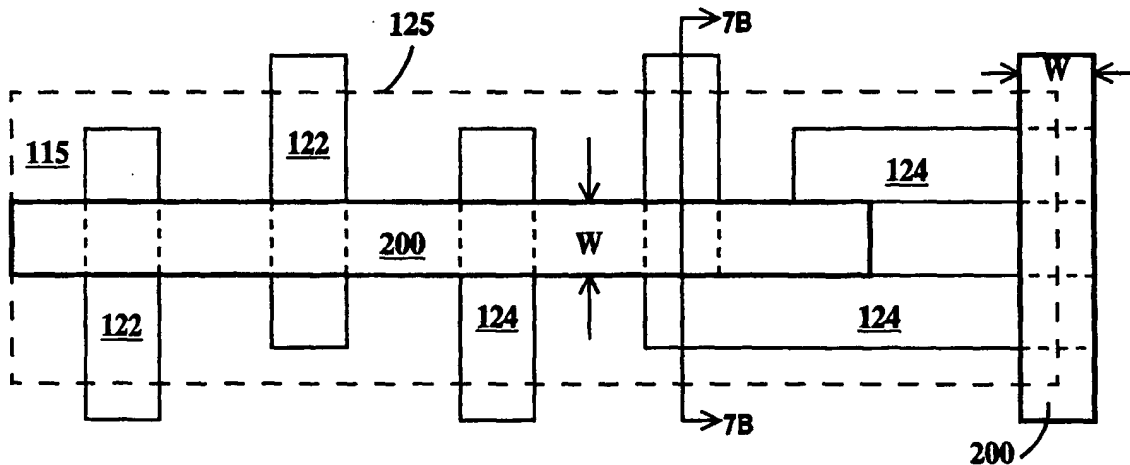


FIG. 7A

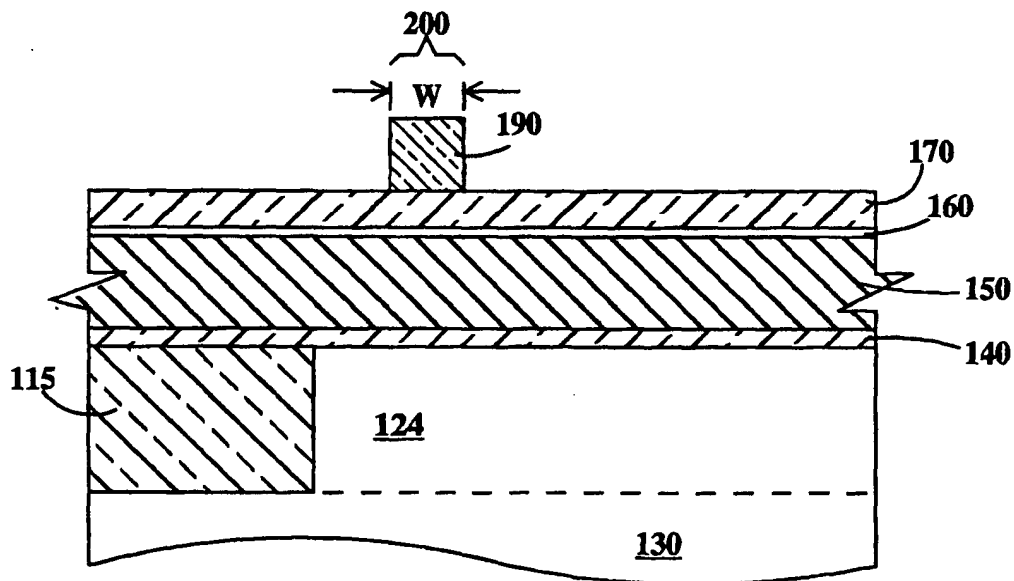


FIG. 7B

BUR920040116US1

7/11

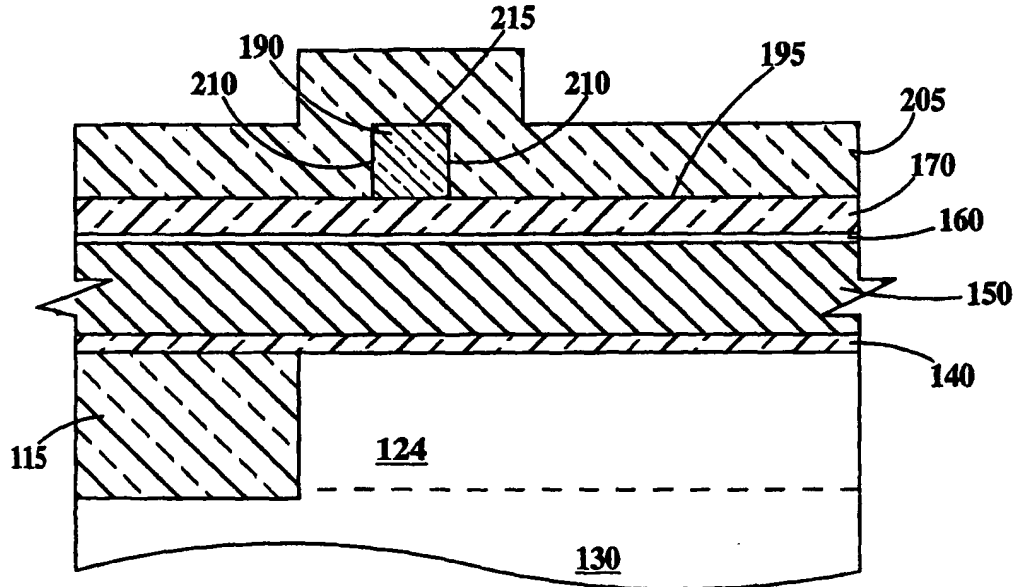


FIG. 7C

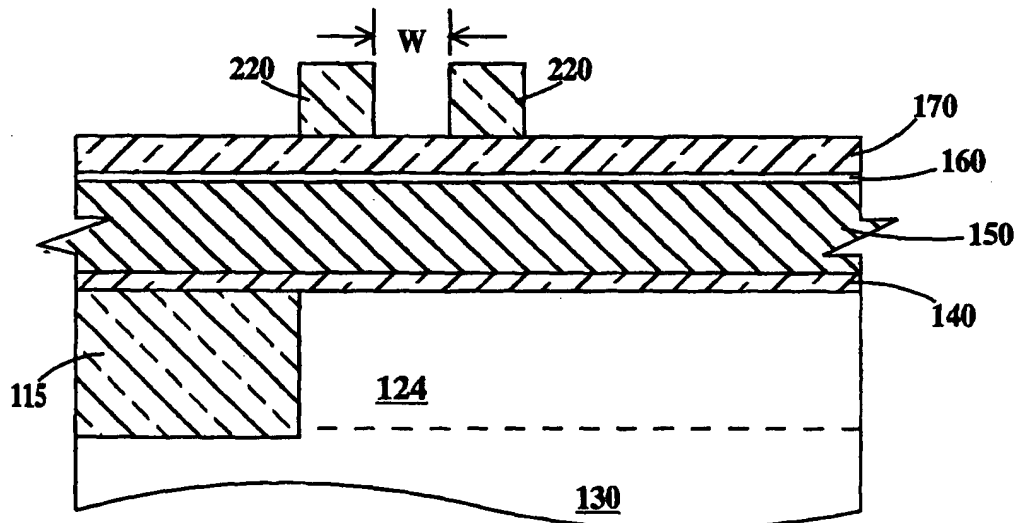
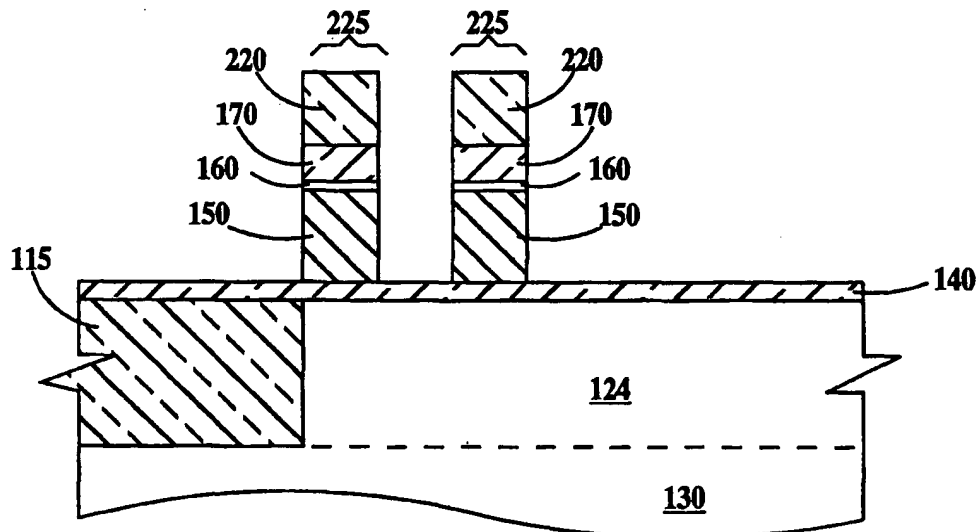
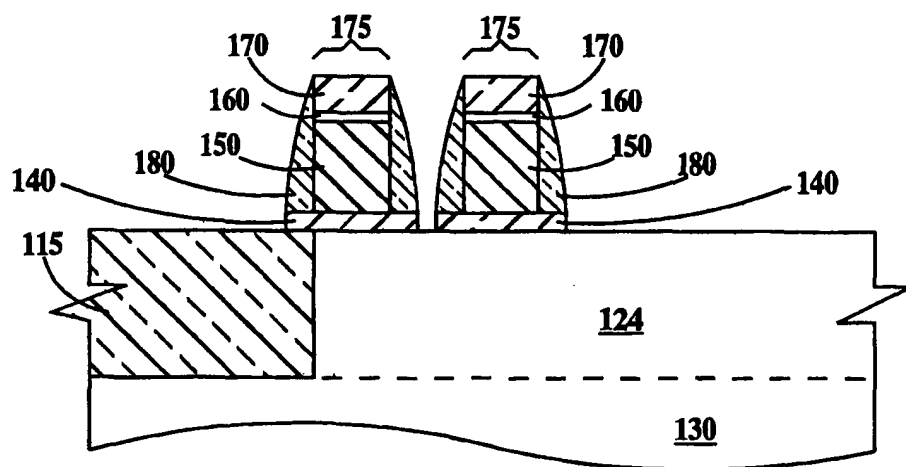


FIG. 7D

BUR920040116US1

8/11**FIG. 7E****FIG. 7F**

BUR920040116US1

9/11

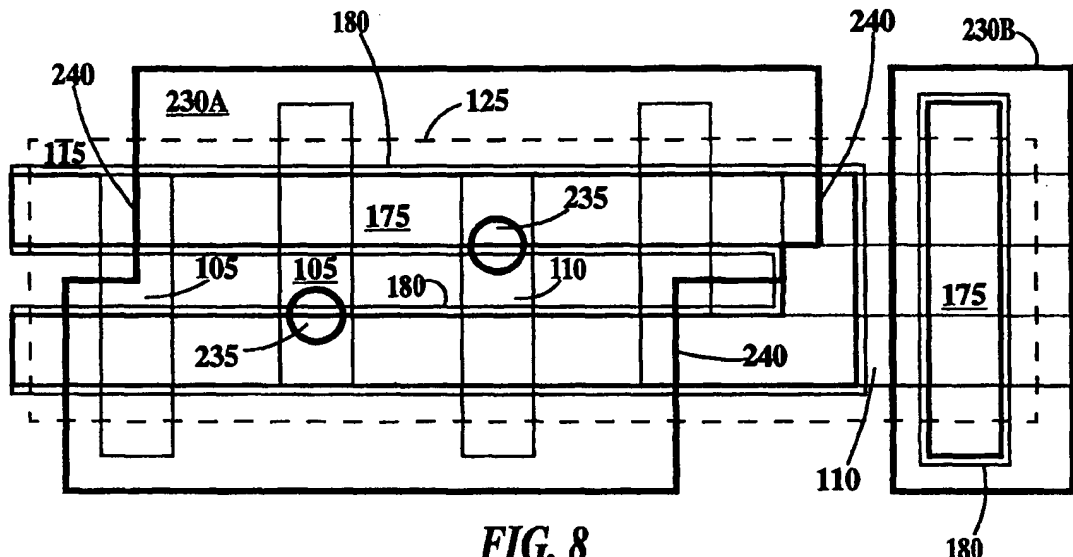


FIG. 8

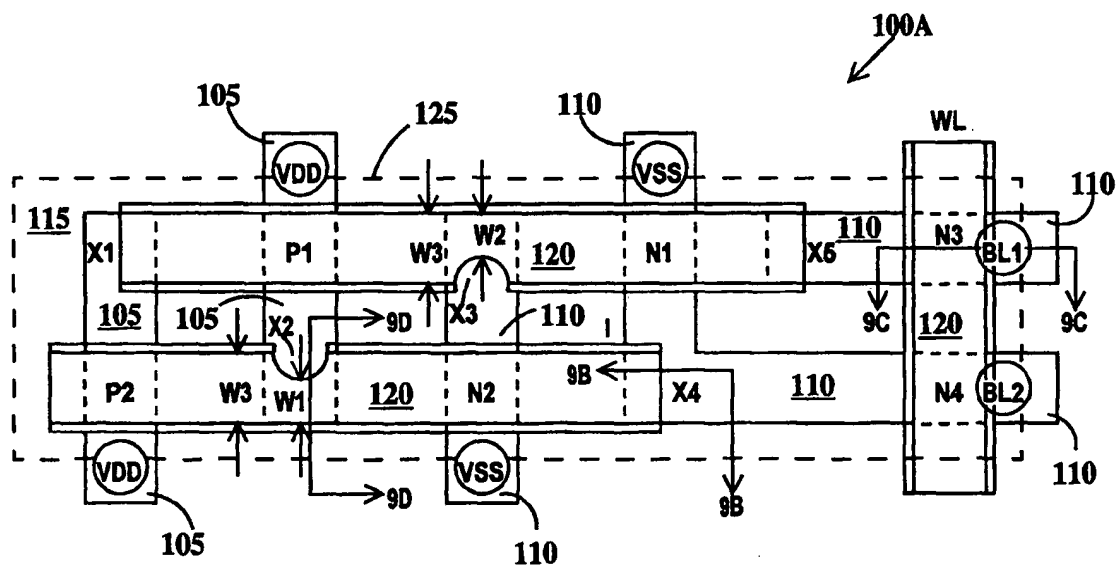


FIG. 9A

BUR920040116US1

10/11

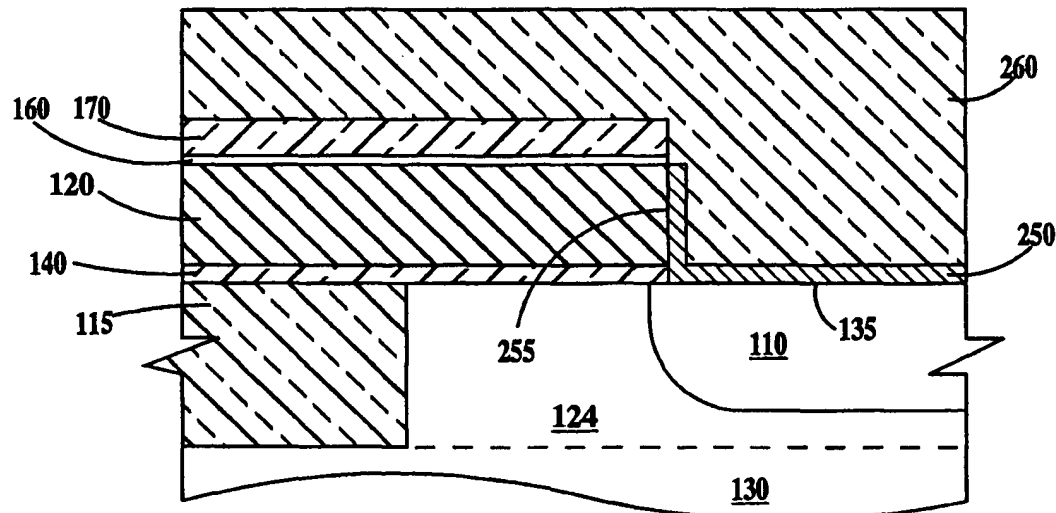


FIG. 9B

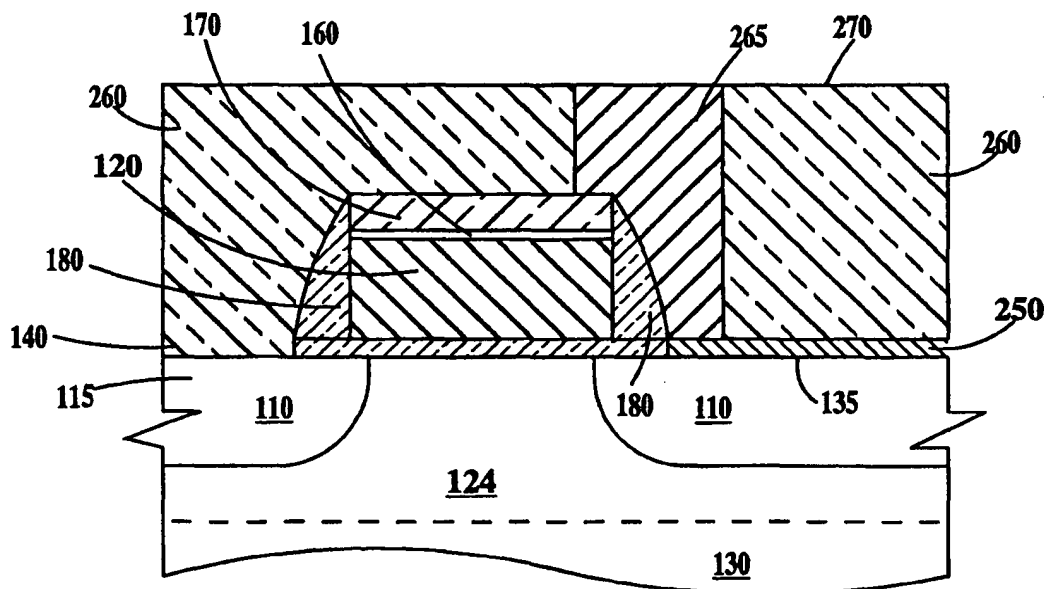


FIG. 9C

BUR92040116US1

11/11